

2016



www.rlming.com

RAUL ENRIQUE LOZANO

[DISEÑO ESTRUCTURAL TANQUE DE AGUA COLEGIO SANTA TERESITA DE ALTAQUER]

[MEMORIA DE CÁLCULO.]

TANQUE DE AGUA
COLEGIO SANTA TERESITA DE ALTAQUER
MEMORIAS DE CÁLCULO

Análisis y diseño:
Ing. Raúl Lozano Mora
Noviembre 2016

TABLA DE CONTENIDO

1.1	Introducción	4
1.2	Normas de diseño	4
1.3	Materiales	4
1.4	Evaluación de Cargas	4
1.5	Modelo	6
1.6	Combinaciones de Carga.....	8
1.6.1	Distribución de cargas	8
1.7	Resultados	10
1.7.1	Verificación de Capacidad de Carga	10
1.7.2	Diseño de las paredes	11
1.7.3	Diseño de la losa de fondo	15
1.7.4	Diseño de la losa Superior.....	17
1.7.5	Diseño y verificación de fisuración.....	18

1.1 Introducción

Las presentes memorias de cálculo resumen las labores adelantadas para el análisis y diseño de la *TANQUE DE AGUA* en concreto reforzado, para el colegio Santa Teresita de Altaquer en Nariño.

El tanque objeto de análisis consta de cuatro muros y losa de fondo de 0.25 m y una placa superior de 25 cm de espesor, soportada por los muros perimetrales. La forma del tanque es rectangular con dimensiones libres de 4.0 por 4.0 metros y una altura libre de 2.26 metros para una capacidad de almacenaje de 16.7 m³.

1.2 Normas de diseño

Se utilizó como guía para el análisis y diseño la Norma para Construcciones Sismo Resistentes – NSR 10. Especialmente el capítulo C.23 (Tanques y Estructuras de Ingeniería Ambiental en Concreto)

1.3 Materiales

Concreto de 28 MPa para muros y losas.

Concreto de 10 MPa para concreto pobre.

Acero de refuerzo $f_y = 4200 \text{ Kg/cm}^2$, para $\varnothing \geq 3/8''$

Acero de refuerzo $f_y = 2400 \text{ Kg/cm}^2$, para $\varnothing < 3/8''$

1.4 Evaluación de Cargas

Carga Muerta (D)

- Peso Propio

Tapa	$0.25\text{m} \times 2.4\text{tn/m}^3$	0.60 ton./m ²
Muro	$4 \times 0.25\text{m} \times 2.4\text{tn/m}^3$	2.40 ton./m ²
P. Fondo	$0.25\text{m} \times 2.4\text{tn/m}^3$	0.60 ton./m ²
	Total	3.60 ton./m²

Carga Viva de cubierta (L)

Para la placa superior del tanque se utiliza una carga de **0.50Ton/m²**

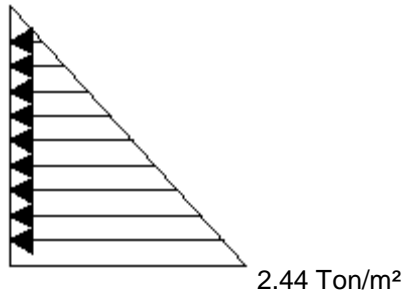
Presión hidrostática (F)

$$\gamma_{AGUA} = 1.0 \frac{T}{m^3}$$

$$P_o = \gamma_{AGUA} h$$

$$P_o = 1.0 \frac{T}{m^3} * 2.26 \text{ m}$$

$$P_o = 2.26 \frac{T}{m^2}$$



Empuje del Suelo

$$\gamma_{suelo} = 1.70 \frac{T}{m^3}$$

$$P_o = \gamma_{suelo} h * k_o$$

$$k_o = 0.70$$

$$P_o = 1.70 \frac{T}{m^3} * 2.26 \text{ m} * 0.70$$

$$P_o = 2.69 \frac{T}{m^2}$$

1.5 Modelo

Se implementó un modelo estructural en tres dimensiones en el programa de análisis SAP2000. Se utilizaron 456 elementos tipo shell.

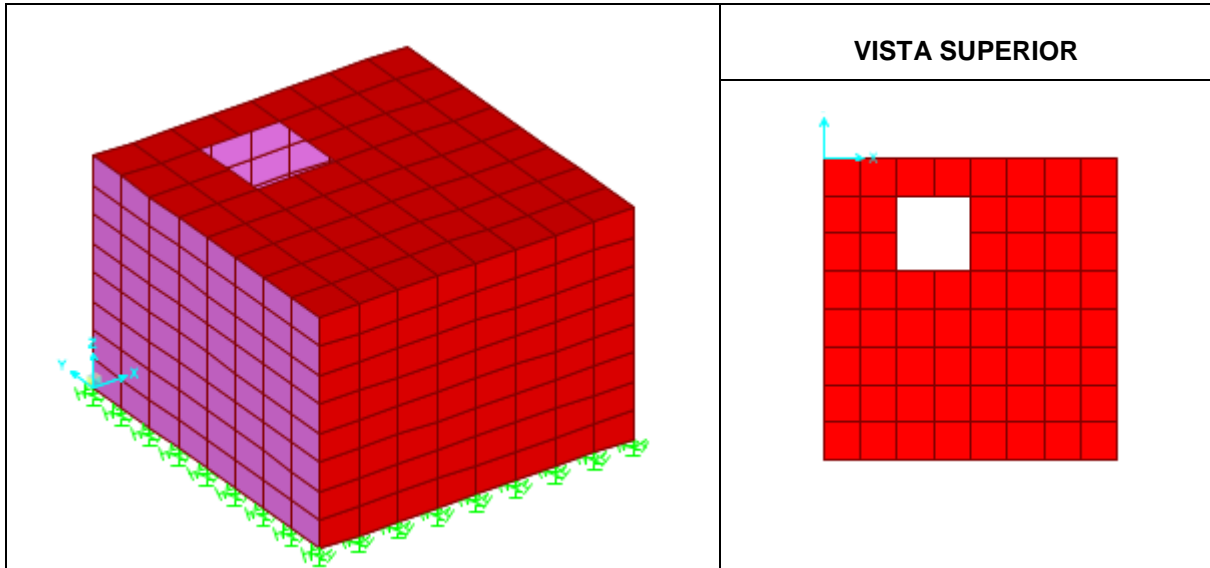


FIGURA 1. VISTA ESTRUCTURA DE TANQUE. A) VISTA GENERAL (Vista izquierda) B) VISTA SUPERIOR (vista inferior derecha).

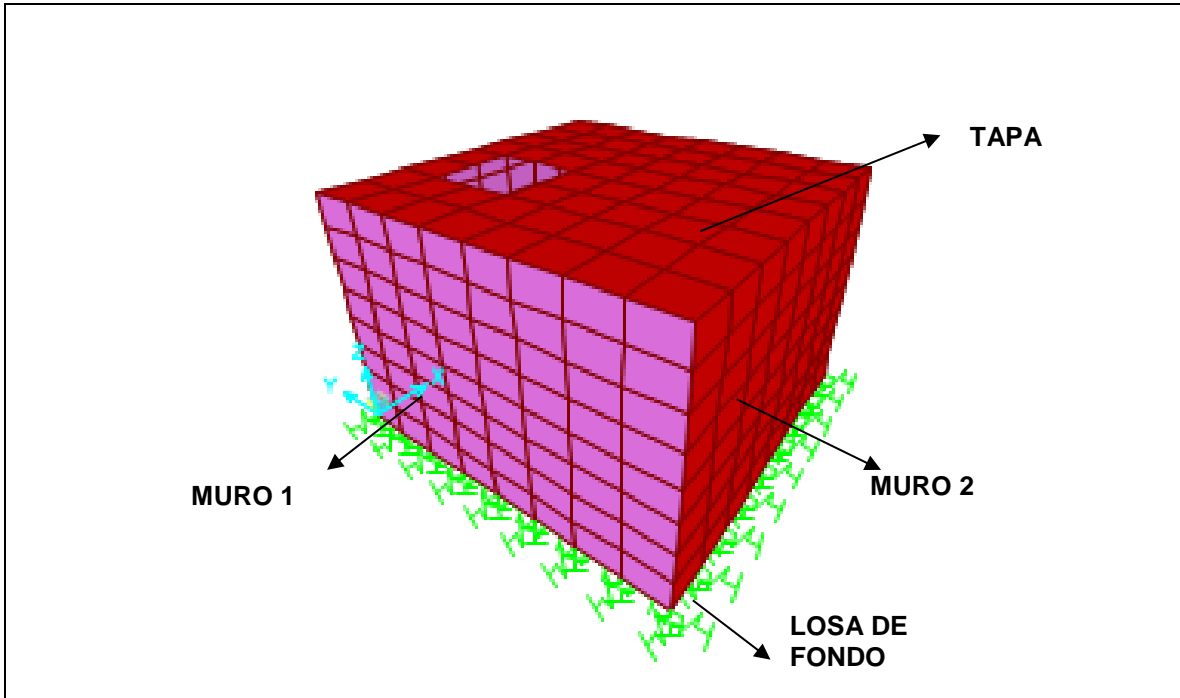


FIGURA 2. IDENTIFICACIÓN DE ELEMENTOS

Condiciones Modelo

- Se colocaron apoyos tipo “spring” para simular la interacción suelo-estructura. (ver figura 3).
- Para la modelación de los muros se utilizaron secciones de área tipo “shell”.
- Para la aplicación de la presión se utilizó una función llamada “joint pattern” que permite variación de los valores presiones en función de la altura.

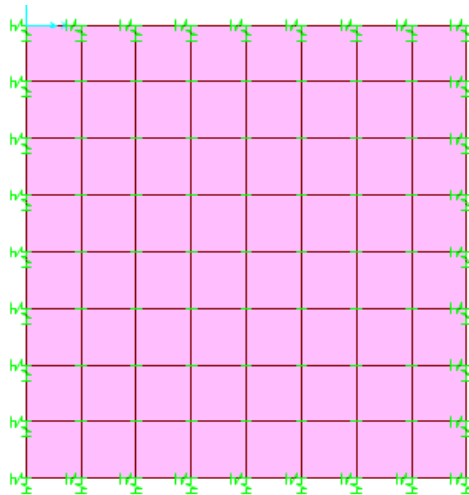


FIGURA 3. APOYO TANQUE DE ALMACENAMIENTO
 $K_s = 1530 \text{ Ton/m}^3$

1.6 Combinaciones de Carga

Según la norma NSR-10 CAP B.2 sección B.2.4.2

Combinación: N° 1, 1.2 D
N° 2, 1.2 D +1.6 L
N° 3, (1.2 D + 1.7 F + 1.6 H)*Sd (Para estructuras sanitarias)
SERV: 1.0 D +1.0 L + 1.0 F+1.0 H

D: Carga Muerta

L: Carga Viva

H: Presión de Tierras

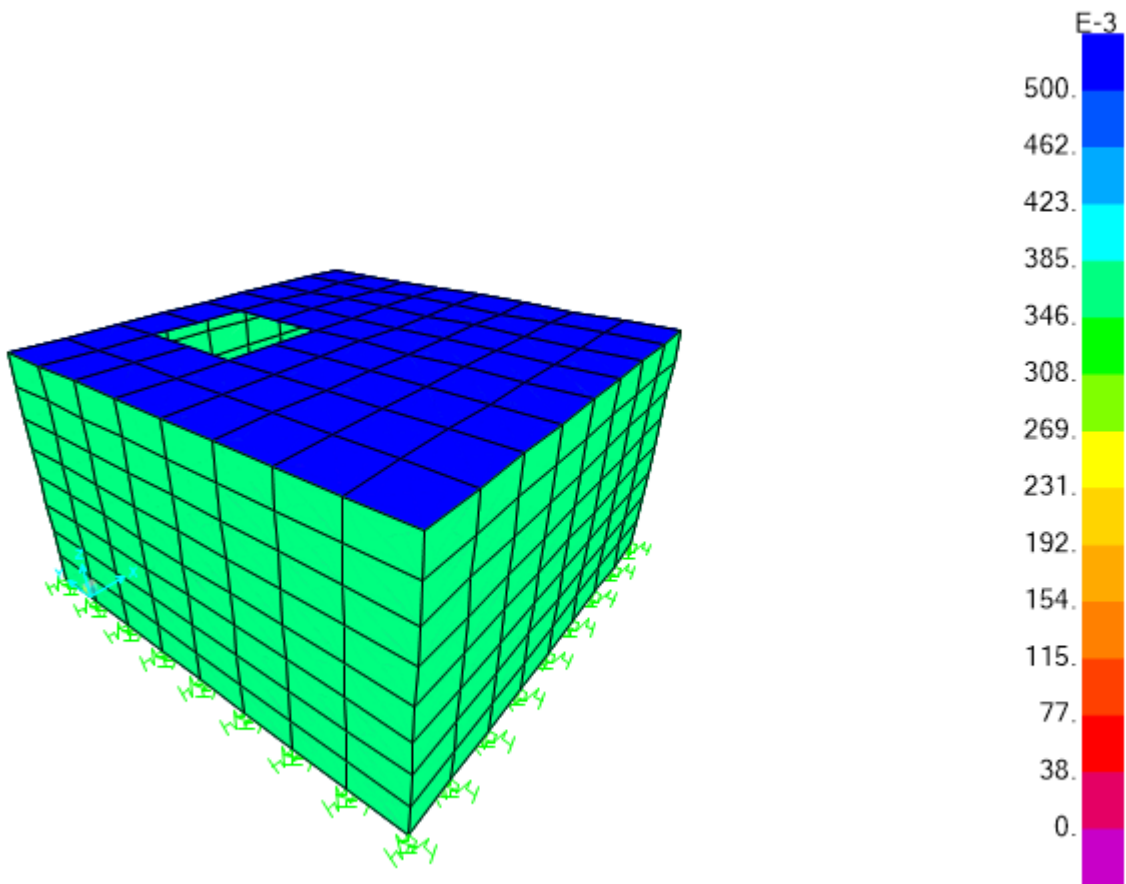
F: Presión de Fluidos

Sd: Coeficiente de durabilidad

1.6.1 Distribución de cargas

Carga viva sobre cubierta: 500 kg/m²

Empuje por carga viva: 360 kg/m²



Empuje lateral de tierras: 2689.4 kg/m²

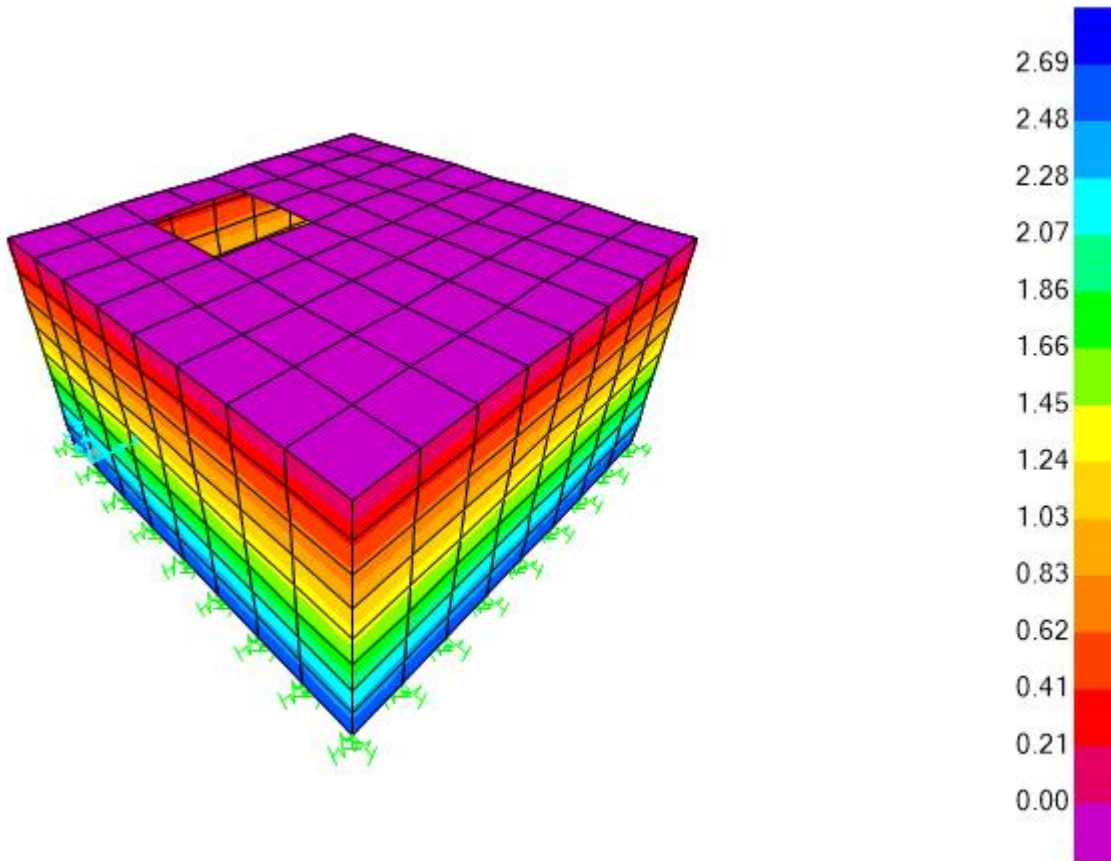
$$H = \gamma \cdot k_0 \cdot h$$

De donde

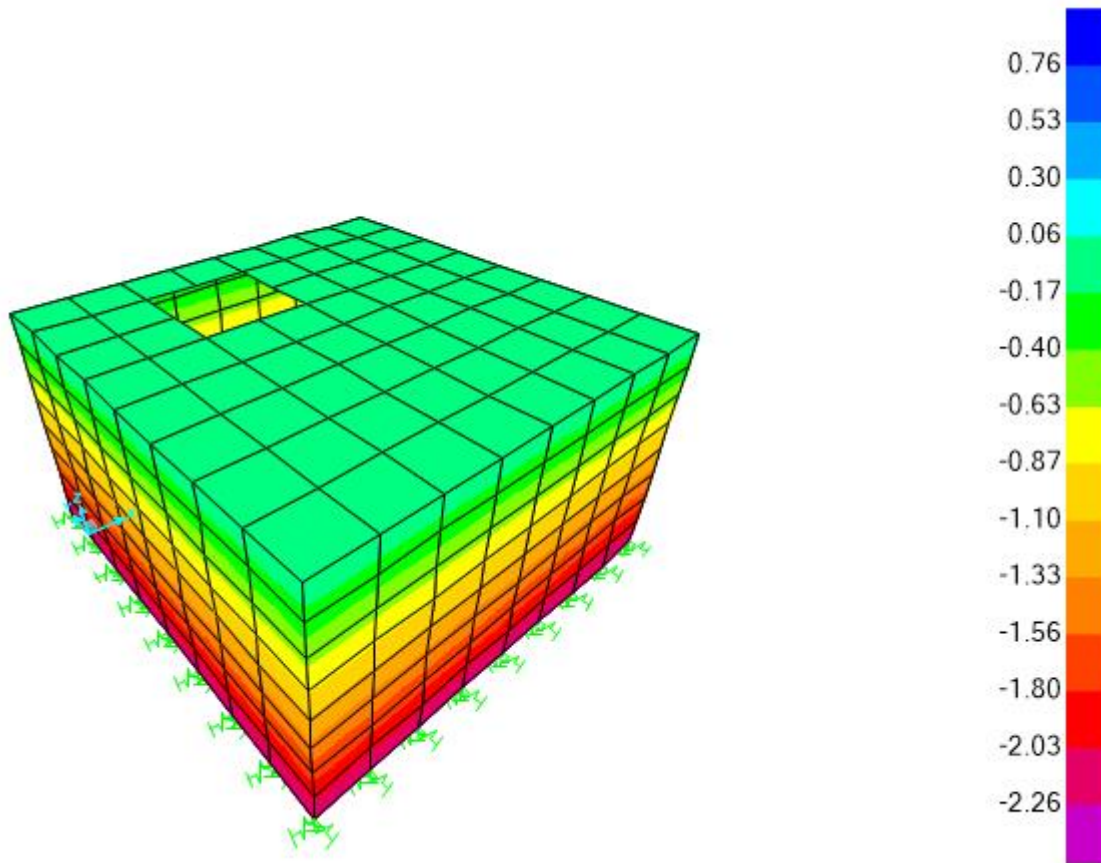
k_0 = Coeficiente en reposo de tierras = 0.7

h = Altura del muro; h = 2.26 m.

γ = Peso específico del suelo = 1.70 tn/m³



Empuje hidrostático: 2260 kg/m²



1.7 Resultados

1.7.1 Verificación de Capacidad de Carga

De acuerdo a las cargas provenientes, al peso propio de la estructura, el peso del agua y la carga viva en cubierta se tienen las siguientes presiones sobre el suelo.

Longitud en sentido X de la Placa Lx= 4.0 m

Longitud en sentido Y de la Placa Ly= 4.0 m

Área aproximada de la Placa A=16 m²

Carga peso propio P=40.90 Ton.

Carga peso agua P=36.16 Ton.

Carga Viva de cubierta P=8.0 Ton.

$$\sigma_{\max} = P/A$$

$$\sigma = 77.06 \text{ tn} / 16 \text{ m}^2 = 4.82 \text{ tn} / \text{m}^2 :$$

Se puede observar que la presión sobre el suelo **no supera** la capacidad portante del suelo, que es de 14.5 tn/m².

1.7.2 Diseño de las paredes

Muro 1

Diseño a flexión

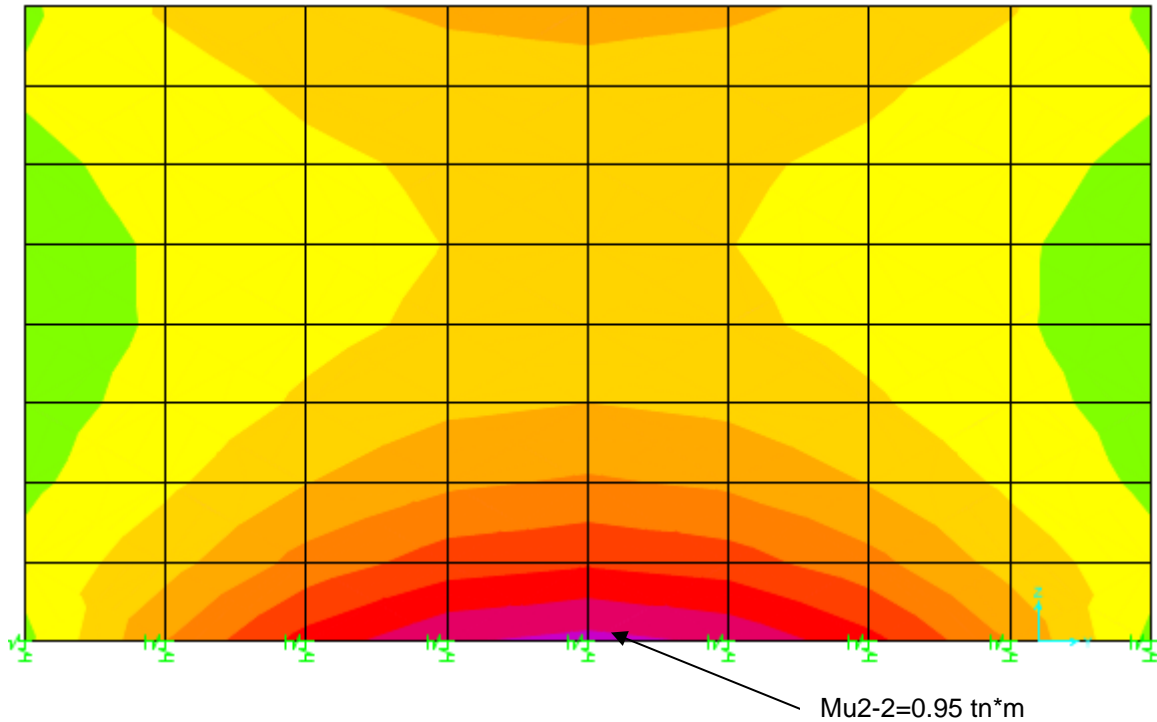


FIGURA 7. DIAGRAMA DE MOMENTO M2-2 (COMB 3) MURO 1

$$M_{u_{2-2}} \text{ COMB 3} = 0.95 \text{ tn*m/m}$$

$$M_{u_{2-2}} * 1.8 = 1.71 \text{ tn*m/m}$$

$$\rho_{\text{calculada}} = 0.0013$$

ρ retracción y fraguado = 0.0030 para juntas con separación mayor de 6.0 m

$$\rho_{\text{min flexion}} = \frac{14}{f_y} = 0.0033$$

$$M_{cr} = 0.33 * b * h^2 * \sqrt{f_c} \text{ (Momento de Agrietamiento)}$$

$$1.2 * M_{cr} = 1.2 * 0.33 * 100 * 25^2 * \sqrt{280} = 414146.7 \text{ Kg * cm}$$

$$\rho_{cr} = 0.0035$$

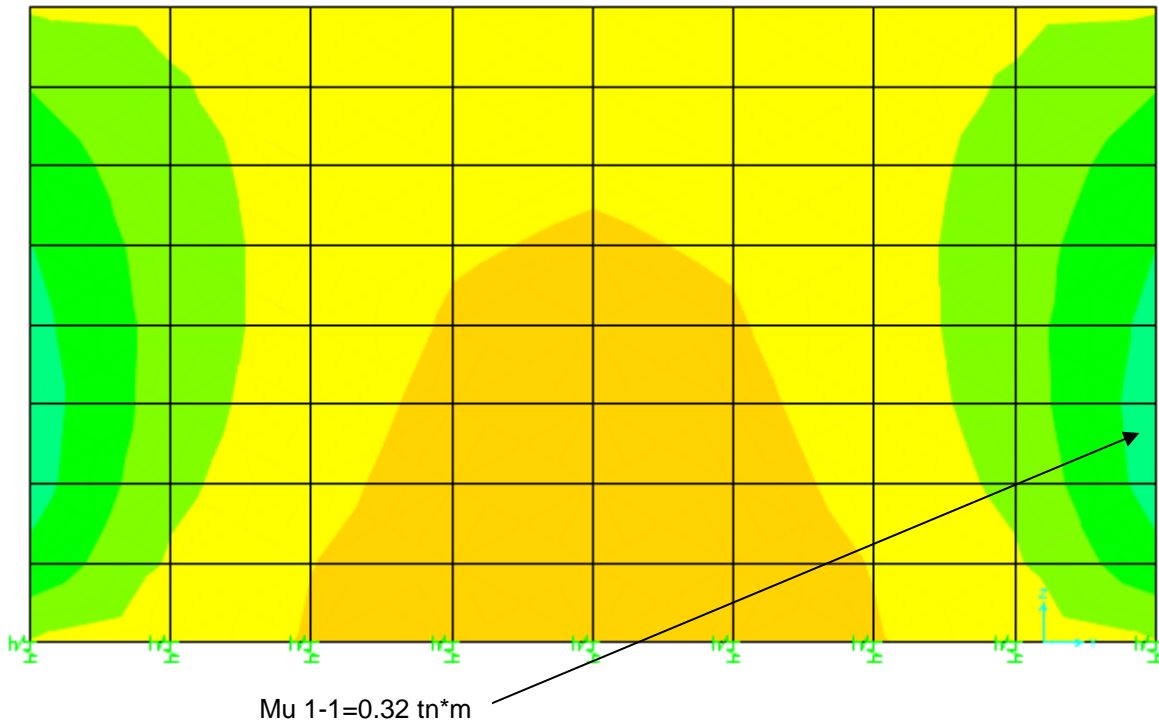


FIGURA 8. DIAGRAMA DE MOMENTO M1-1 (COMBO 3) MURO 1

$$Mu_{1-1} \text{ Combo 3} = 0.32 \text{ tn}^* \text{m/m}$$

$$Mu_{1-1} * 1.8 = \mathbf{0.58 \text{ tn}^* \text{m/m}}$$

$$\rho_{calculada} = 0.0010$$

ρ retracción y fraguado = 0.0030 para juntas con separación mayor de 6.0 m

$$\rho_{\min \text{ flexion}} = \frac{14}{fy} = 0.0033$$

$$M_{cr} = 0.33 * b * h^2 * \sqrt{fc} \text{ (Momento de Agrietamiento)}$$

$$1.2 * M_{cr} = 1.2 * 0.33 * 100 * 25^2 * \sqrt{280} = 414147 \text{ Kg} * \text{cm}$$

$$\rho_{cr} = 0.0035$$

Revisión a Cortante

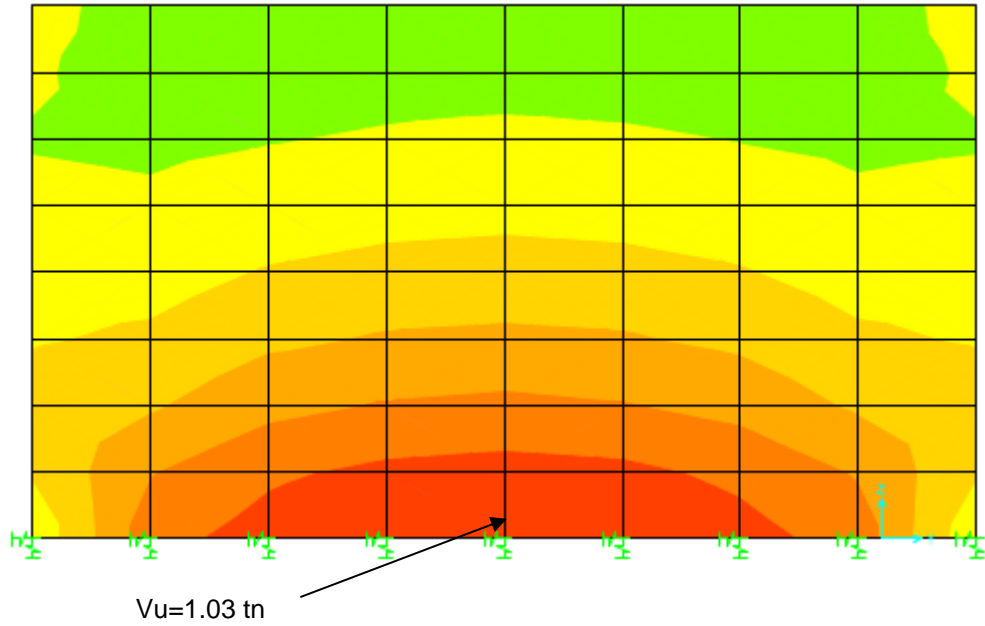


FIGURA 9. DIAGRAMA DE CORTANTE V23 – MURO 1

$V_u = 1.03 \text{ Tn/m}$

$v_u = 1030 \text{ Kg}/(100\text{cm} \cdot 18\text{cm}) = 0.572 \text{ Kg/cm}^2$

$\phi v_c = 0.75 \cdot 0.53 \cdot (280)^{0.5} = 6.65 \text{ Kg/cm}^2$; Luego $v_u < \phi v_c$; o.k

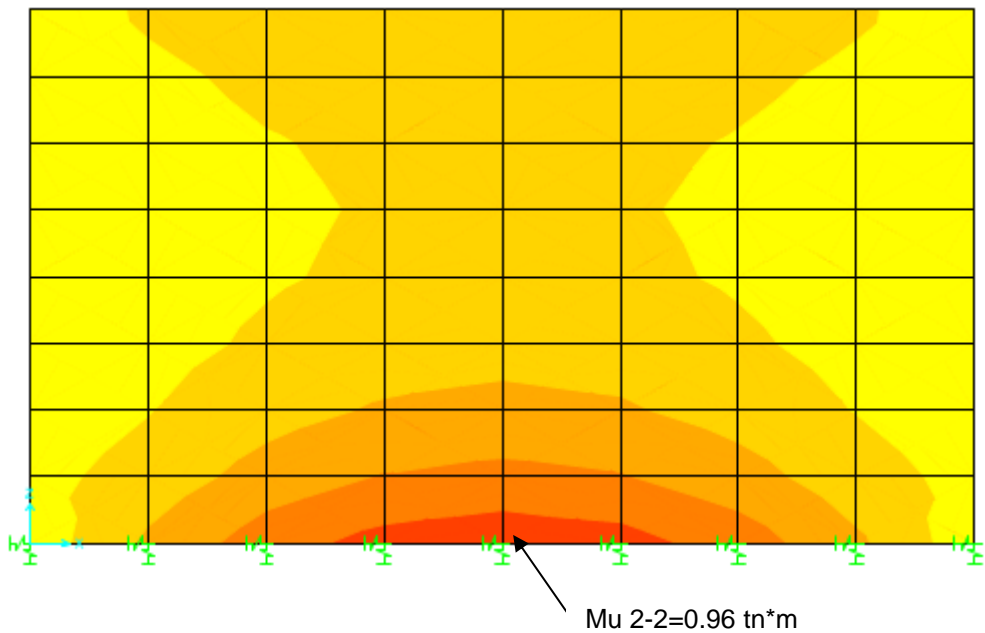


FIGURA 10. DIAGRAMA DE MOMENTO M2-2 (COMBO 3) MURO 2

$Mu_{2-2} \text{ Comb 3} = 0.96 \text{ tn}\cdot\text{m/m}$

$Mu_{2-2} * 1.8 = 1.73 \text{ tn}\cdot\text{m/m}$

$\rho_{calculada} = 0.001$

ρ retracción y fraguado = 0.0030 para juntas con separación mayor de 6.0 m

$$\rho_{\min \text{ flexion}} = \frac{14}{fy} = 0.0033$$

$M_{cr} = 0.33 * b * h^2 * \sqrt{f_c}$ (Momento de Agrietamiento)

$$1.2 * M_{cr} = 1.2 * 0.33 * 100 * 25^2 * \sqrt{280} = 414147 \text{ Kg} * \text{cm}$$

$$\rho_{cr} = 0.0035$$

Revisión a Cortante

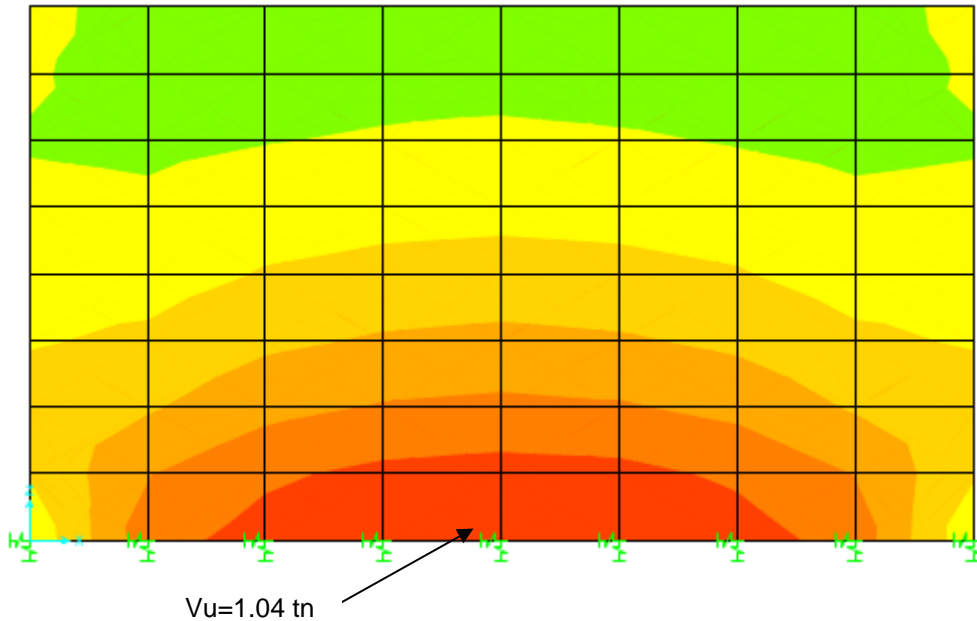


FIGURA 11. DIAGRAMA DE CORTANTE V23 (COMBO 3) MURO 2

$Vu = 1.04 \text{ Tn/m}$

$$v_u = 1040 \text{ Kg} / (100\text{cm} * 18\text{cm}) = 0.58 \text{ Kg/cm}^2$$

$$\phi v_c = 0.75 * 0.53 * (280)^{0.5} = 6.65 \text{ Kg/cm}^2 ; \text{ Luego } v_u < \phi v_c ; \text{ o.k}$$

1.7.3 Diseño de la losa de fondo

Diseño a Flexión

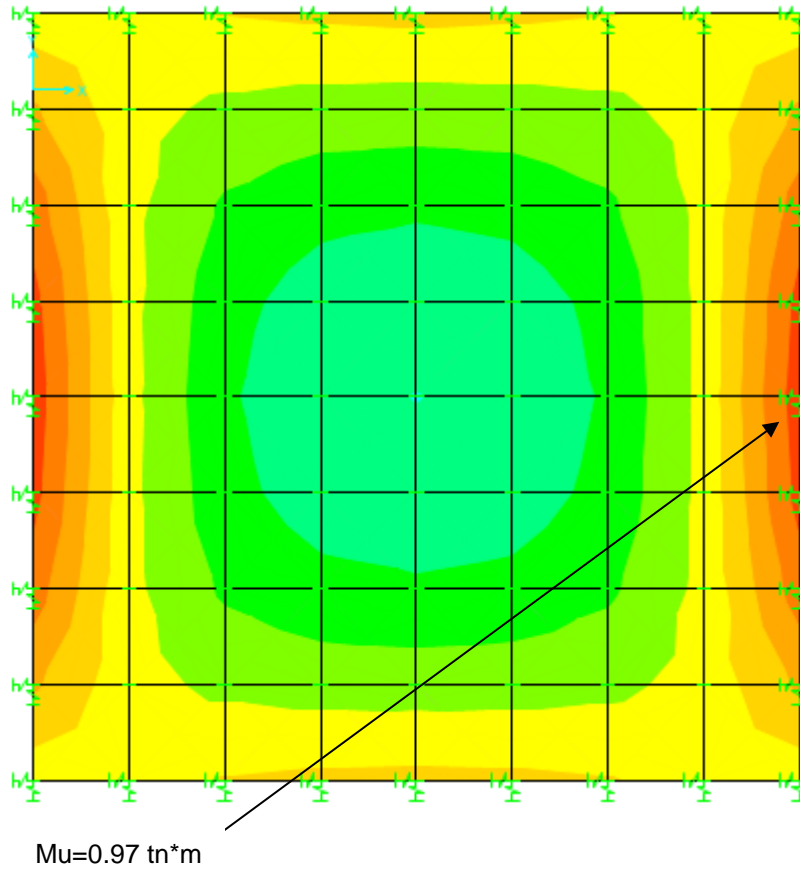


FIGURA 12. DIAGRAMA DE MOMENTO M1-1 – LOSA DE FONDO

Mu₁₋₁ máximo = 0.97 tn*m/m (COMBO 3)

Mu₁₋₁*1.8=1.75 tn*m/m

ρ_{calculada}=0.0018

ρ retracción y fraguado = 0.0030 para juntas con separación mayor de 6.0 m

$$\rho_{\min \text{ flexion}} = \frac{14}{f_y} = 0.0033$$

M_{cr} = 0.33*b*h²*√f_c (Momento de Agrietamiento)

$$1.2 * M_{cr} = 1.2 * 0.33 * 100 * 25^2 * \sqrt{280} = 414147 \text{ Kg} * \text{cm}$$

$$\rho_{cr} = 0.0035$$

Revisión a Cortante

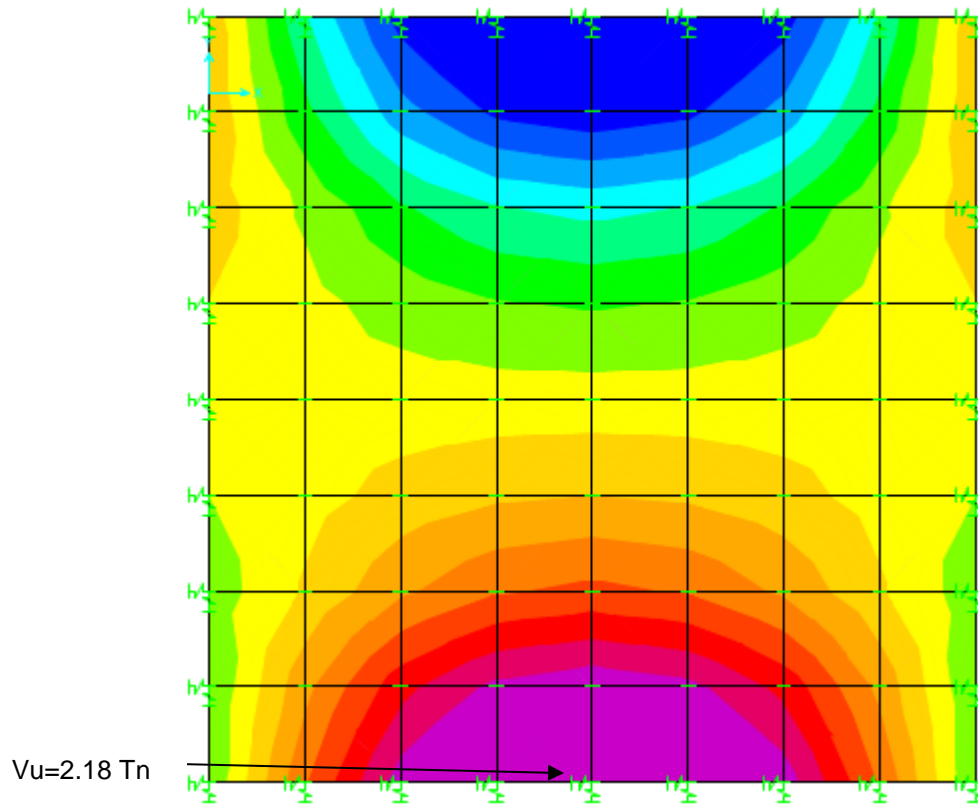


FIGURA 13. DIAGRAMA DE CORTANTE V1-3- LOSA DE FONDO

$$Vu=2.18 \text{ Tn}$$

$$v_u = 2180 \text{ Kg}/(100\text{cm} \cdot 18\text{cm}) = 1.21 \text{ Kg/cm}^2$$

$$\phi v_c = 0.75 \cdot 0.53 \cdot (280)^{0.5} = 6.65 \text{ Kg/cm}^2 ; \text{ Luego } v_u < \phi v_c ; \text{ o.k}$$

1.7.4 Diseño de la losa Superior

Diseño a Flexión

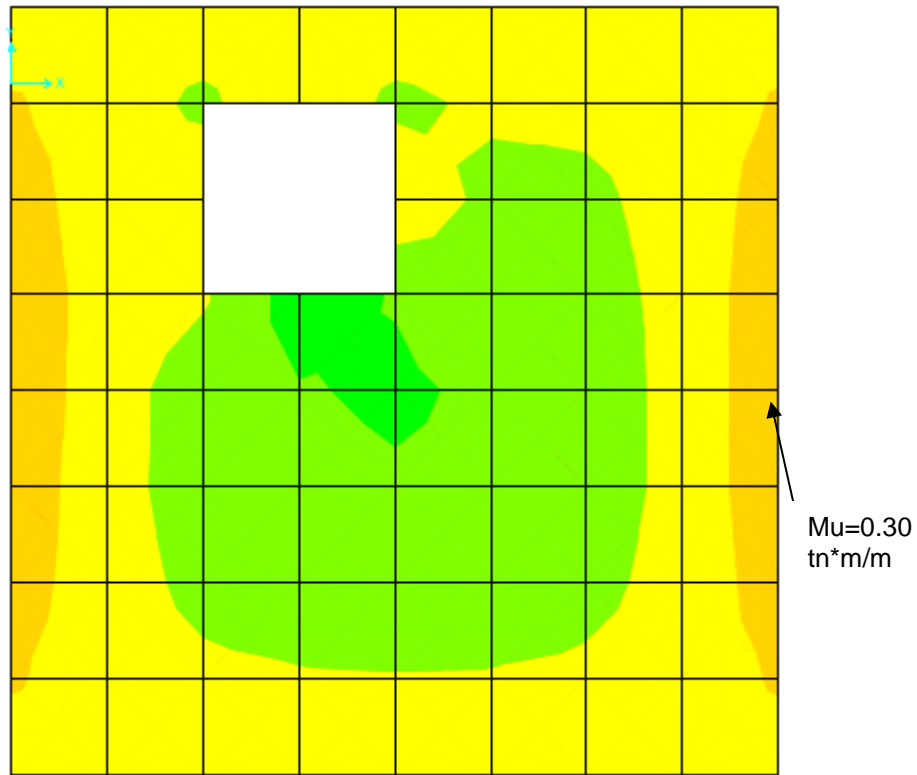


FIGURA 14. DIAGRAMA DE MOMENTO M1-1 – Losa Superior

$M_{u \text{ 1-1}} \text{ combo 3} = 0.30 \text{ tn}\cdot\text{m/m}$

ρ retracción y fraguado = 0.00180 para acero $f_y=420 \text{ MPa}$

$$\rho_{\min \text{ flexion}} = \frac{14}{f_y} = 0.0033$$

Se usa cuantía mínima por flexión; luego $A_s=0.0033*100*20=6.60 \text{ cm}^2$. Usar $\phi \text{ 1/2"}$ cada 20 cm. Refuerzo para retracción y fraguado $A_s=0.0018*100*20 = 4.5 \text{ cm}^2$. Es decir 2.25 cm^2 en cada cara, usar $\phi \text{ 1/2"}$ cada 20 cm. o malla $8\text{mm}@15\text{cm}$.

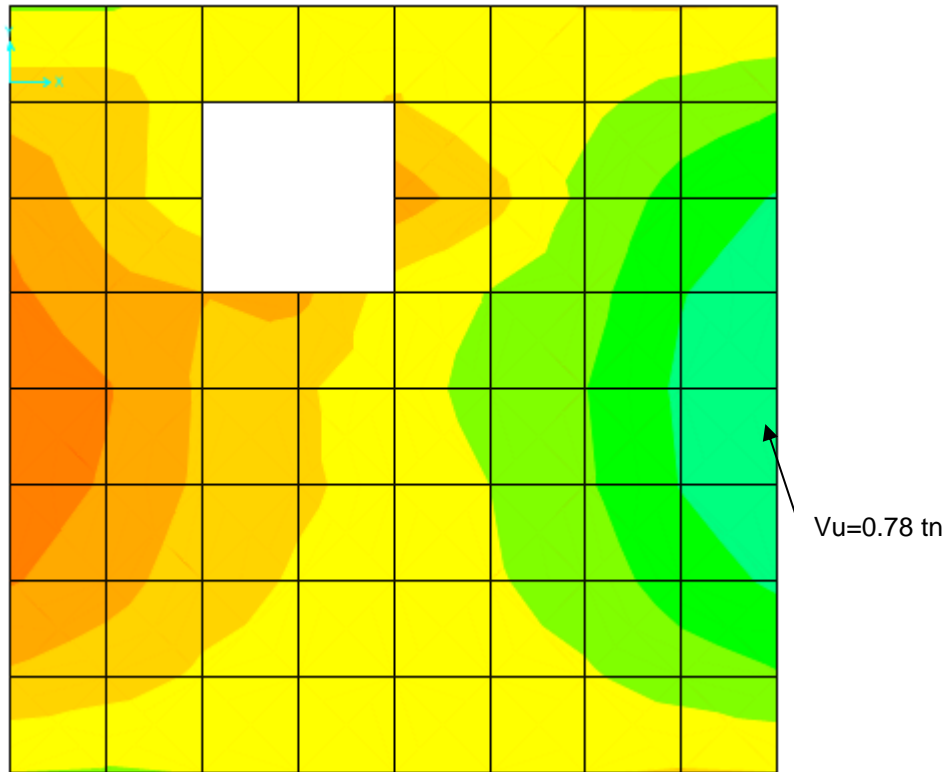


FIGURA 15. DIAGRAMA DE CORTANTE V13– Losa Superior

$$V_u = 0.78 \text{ Tn}$$

$$v_u = 780 \text{ Kg} / (100\text{cm} \cdot 20\text{cm}) = 0.39 \text{ Kg/cm}^2$$

$$\phi v_c = 0.75 \cdot 0.53 \cdot (280)^{0.5} = 6.65 \text{ Kg/cm}^2 ; \text{ Luego } v_u < \phi v_c ; \text{ o.k}$$

1.7.5 Diseño y verificación de fisuración.

A continuación se presenta el análisis por fisuración de los muros y placas del tanque que en este caso gobierna el diseño de estos.

DISEÑO REFUERZO TANQUE DE AGUA

*DISEÑO POR RESISTENCIA ULTIMA

BASE	b=	100 cm
	B1	0.85
CONCRETO	Fc	280 Kg/cm ²
ACERO	Fy	4200 Kg/cm ²
	m	17.65
Cuantia balanceada	pbal	0.0286
Cuantia minima	pmin	0.0016
Cuantia maxima	pmax	0.0214
Módulo de Rotura del Concreto	fr	33.13 Kg/cm ²

MOMENTOS ULTIMOS

	A	B	C	D	E
Mu (Ton-m)	0.30	0.18	0.96	0.30	0.81
Factor de Durabilidad Sd	1.00	1.30	1.00	3.18	1.73
Mu *Sd	0.30	0.23	0.96	0.95	1.40
Mn(Ton-m)	0.33	0.26	1.07	1.06	1.56
Mcr=(fr*I)/c	3.45	3.45	3.45	3.45	3.45
Espesor(H) (cm)	25	25	25	25	25
Inercia (cm ⁴)	130208	130208	130208	130208	130208
Eje Neutro (cm)	12.5	12.5	12.5	12.5	12.5
Recubrimiento (d' cm)	7.0	7.0	7.0	5.0	7.0
d (cm)	18	18	18	20	18
Rn (Kg/cm ²)	1.03	0.80	3.29	2.65	4.81
Rn(max) (kg/cm ²)	72.97	72.97	72.97	72.97	72.97
Rn(max)<Rn	simple armd	simple armd	simple armd	simple armd	simple armd
Cuantía sección	0.000245	0.000191	0.000789	0.000634	0.001157
pmax>p>pmin	FALSO	FALSO	FALSO	FALSO	FALSO
Cuantía de diseño	0.00352	0.00352	0.00352	0.00317	0.00352
As requerido (cm ²)	0.44	0.34	1.42	1.27	2.08
Número de Varilla	4	4	4	4	4
Diámetro de varilla (cm)	1.27	1.27	1.27	1.27	1.27
As varilla (cm ²)	1.27	1.27	1.27	1.27	1.27
Cantidad	0.35	0.27	1.12	1.00	1.64
Separación calculada (cm)	287	368	89	100	61
Separación colocada (cm)	20	20	20	20	20
As suministrado (cm ²)	6.33	6.33	6.33	6.33	6.33
a (cm)	1.12	1.12	1.12	1.12	1.12
φMn (res) (Ton-m)	4.18	4.18	4.18	4.65	4.18
1.2*Mcr (Ton-m)	4.14	4.14	4.14	4.14	4.14
φMn (res) >= 1.2 Mcr	CUMPLE	CUMPLE	CUMPLE	CUMPLE	CUMPLE

Cortante (Ton)

$$V_c = 0.75 * 0.53 * \text{Raiz}(280) * b * d =$$

Vu =

	A-B	A-A	B-B
	11.97	13.30	11.97
	1.03	0.77	2.17
	CUMPLE	CUMPLE	CUMPLE

DISEÑO POR FISURACIÓN

	A	B	C	D	E
0.45 fc (Kg/cm2)	126	126	126	126	126
fs de Diseño (kg/cm2)	2101.6	2101.6	2101.6	2101.6	2101.6
Cuantía suministrada	0.00317	0.00317	0.00317	0.00317	0.00317
Módulo Elástico Concreto Ec (kg/cm2)	206368.6	206368.6	206368.6	206368.6	206368.6
Módulo Elástico Acero Es (kg/cm2)	2040000	2040000	2040000	2040000	2040000
Relación Modular n	10	10	10	10	10
k	0.22	0.22	0.22	0.22	0.22
j	0.93	0.93	0.93	0.93	0.93
Momento de servicio Res. (Ton-m)	2.47	2.47	2.47	2.47	2.47
Momento de servicio Aplicado. (Ton-m)	0.10	0.13	0.19	0.53	0.78
M (Res)>=M (Aplicado)	CUMPLE	CUMPLE	CUMPLE	CUMPLE	CUMPLE

TIPO DE EXPOSICIÓN AMBIENTAL

NORMAL

COEFICIENTE DE DURABILIDAD AMBIENTAL (CÓDIGO ACI 350-06)

Sd=(ϕ fy)/ γ *fs>=1.0

	0.9	0.9	0.9	0.9	0.9
ϕ	0.9	0.9	0.9	0.9	0.9
γ =Carga Mayorada/Carga No Mayorada	3.00	1.38	5.05	0.57	1.04
Sd=	1.00	1.30	1.00	3.18	1.73

DISEÑO POR FISURACIÓN (CÓDIGO ACI 350-06)

	1.35	1.35	1.35	1.35	1.35
Factor de Amplificación β	1.35	1.35	1.35	1.35	1.35
Diámetro de la varilla (cm) db	1.27	1.27	1.27	1.27	1.27
Separación (cm) s	20	20	20	20	20
fs (max) kg/cm2=	2101.6	2101.6	2101.6	2101.6	2101.6
fs (max) kg/cm2<=0.60fy	2520	2520	2520	2520	2520
fs de Diseño fs(kg/cm2)=	85.2	110.8	161.9	451.6	664.7
	CUMPLE	CUMPLE	CUMPLE	CUMPLE	CUMPLE